

# Forschungsprojekt: Wärmepumpendemonstrator

Demonstratorapp zur Präsentation der Ergebnisse eines Konvolutionsnetzwerks für Wärmepumpen

Ursula Krause (stX), Laurin Röseler (st177288),  
Christof Schuster (stX), Fabio Tucciarone (st177167)

stX@stud.uni-stuttgart.de

## Zusammenfassung

Neque porro quisquam est qui dolorem ipsum quia dolor sit amet, consectetur, adipisci velit... Neque porro quisquam est qui dolorem ipsum quia dolor sit amet, consectetur, adipisci velit... Neque porro quisquam est qui dolorem ipsum quia dolor sit amet, consectetur, adipisci velit...

## 1 Einführung

## 2 Projektarchitektur

Zu Beginn möchten wir einen Überblick über die Projektarchitektur und die dazugehörigen Entwurfsentscheidungen geben.

- Diagramm: Zusammenspiel der Komponenten (grob)

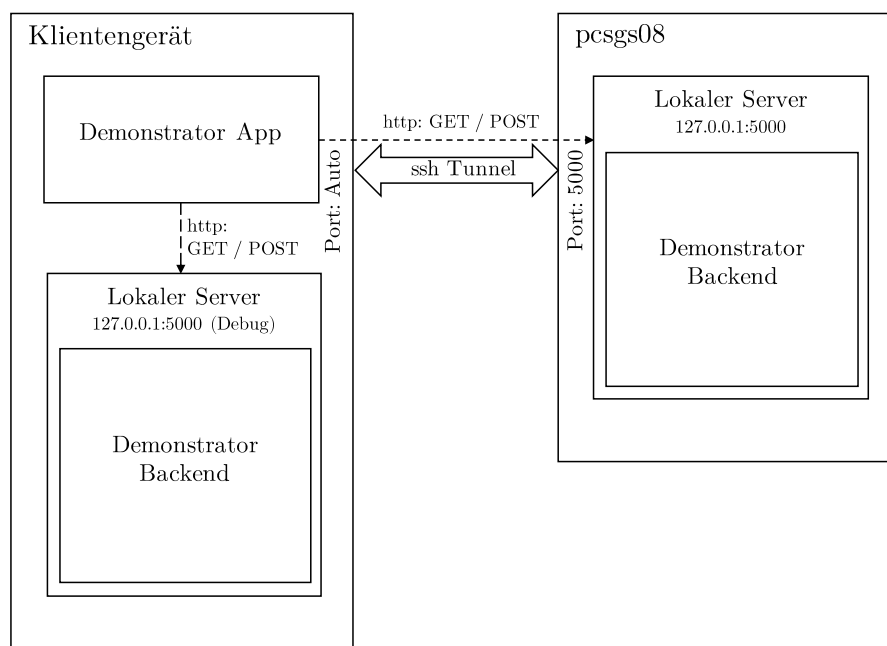


Abbildung 1: Grobe Projektarchitektur

- Backend

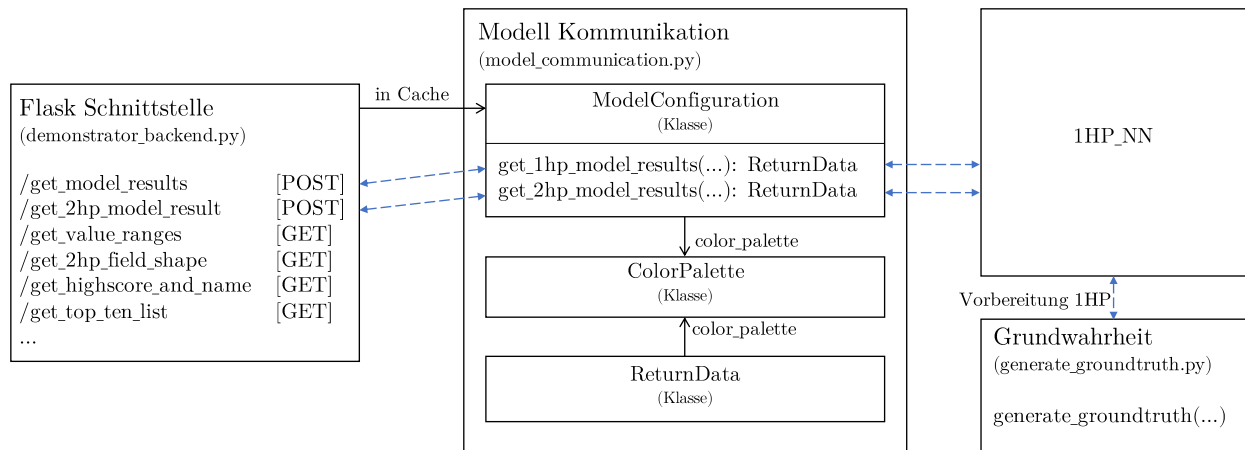


Abbildung 2: Grobe Projektarchitektur

- Frontend?

## 3 Backend

### 3.1 Stufe 1 (1HP NN)

- **Hauptaufgabe:** Generierung einer Grundwahrheit für eine Wärmepumpe
  - Algorithmus: Nächster Punkt
  - Algorithmus: Scipy Versuche (Vergleiche: Laufzeit, Fehler)
  - Algorithmus: Unser Algorithmus (Vergleiche ...)
- **Kommunikation mit dem Modell**
  - Pipeline / Ablauf einer Anfrage
  - Optimierungen / Engpässe

#### 3.1.1 Triangulation

*Vorüberlegung* : Um die Farbe eines Pixels in einer zweidimensionalen Ebene zufällig verteilter Datenpunkte anzunähern, empfiehlt es sich über ein Dreieck aus Datenpunkten, das den Pixel einschließt zu interpolieren. Dabei, um möglichst viel von den Informationen der Datenpunkte zu nutzen, sollten die drei Datenpunkte einen möglichst geringen Abstand zum Pixelpunkt  $p$  besitzen. Die drei Datenpunkte, die das Dreieck bilden sollen, nennen wir  $c, c_1$  und  $c_2$ . Bevor wir einen Algorithmus 3.1.4 konstruieren, der diese Eigenschaft erfüllt erst noch wichtige Hilfssätze:

#### 3.1.2 Hilfssatz 1: Minimales-Abstands-Dreieck beinhaltet nächsten Punkt

Damit ein solches Dreieck eine minimale Punktabstandssumme besitzt, ist es notwendig, dass der, zu  $p$  nächste, Datenpunkt Teil dieses Dreiecks ist. Diesen Punkt nennen wir  $c$ .

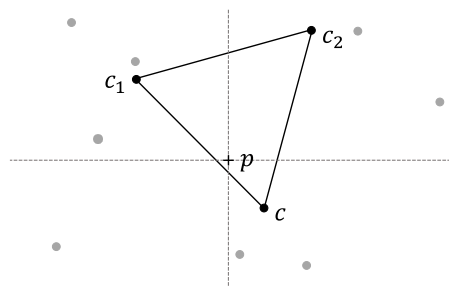


Abbildung 3: Ziel Triangulation

*Beweis* : Angenommen,  $c$  wäre nicht Teil des  $p$ -umschließenden Dreiecks mit minimaler Punktabstandssumme. Dieses Dreieck bestehe aus den Eckpunkten  $a_1$ ,  $a_2$  und  $a_3$  mit Abstandssumme:

$$S_{AP} = |p - a_1| + |p - a_2| + |p - a_3|$$

Von den drei Punkten sei  $a_1$  der nächste Punkt zu  $p$ . Dieser spannt, mit  $p$  als Mittelpunkt, einen Kreis auf. Innerhalb davon muss  $c$  liegen. Es gibt nun einen Punkt  $\in \{a_1, a_2, a_3\}$ , der sich durch  $c$  ersetzen lässt und mit den anderen beiden Punkten ein Dreieck aufspannt, das immer noch  $p$  umschließt (siehe 4).

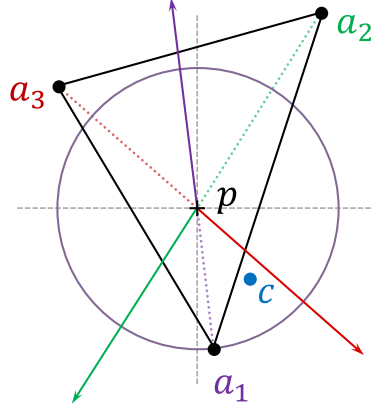


Abbildung 4: Dreiteilung mit Hilfslinien

Diesen, zu ersetzenden Punkt, kann man finden, indem man zuerst von jedem Punkt  $\in \{a_1, a_2, a_3\}$  eine Linie durch  $p$  zieht (in Abb. 4 lila, grün, rot). Diese Linien, von  $p$  ausgehend (nur noch die durchgezogenen Linien), teilen die Ebene in drei Teile auf, wobei in jedem genau ein Punkt  $\in \{a_1, a_2, a_3\}$  liegt. Wäre mehr als ein Punkt in einem Teil, so umschlossen die drei Punkte nicht mehr  $p$  (siehe 3.1.3).

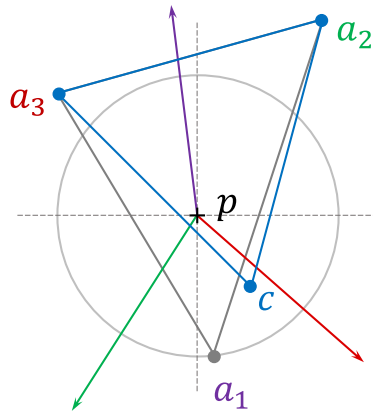


Abbildung 5: kleineres Dreieck

Sei  $a_1$  der Punkt, der im selben Teil wie  $c$  liegt. Dieser lässt sich durch  $c$  ersetzen, da jeder Punkt innerhalb dieses Teils, ein  $p$  umschließendes Dreieck mit  $a_2$  und  $a_3$  aufstellen würde. Das liegt daran, dass die Mindestgröße der Winkel an jeweils  $a_2$  und  $a_3$  ausreicht, um  $p$  zu umschließen (siehe 3.1.3). Die Mindestgröße beider Winkel wird schließlich von dem Teil bestimmt, der  $a_1$  beinhaltet. Das neue Dreieck  $(c, a_2, a_3)$  hat somit die Punktabstandssumme:

$$S_{AP}^* = |p - c| + |p - a_2| + |p - a_3|$$

O.B.d.A:  $S_{AP}^*$  ist kleiner als  $S_{AP}$ , da der Abstand von  $c$  zu  $p$  kleiner ist als der von  $a_1$  zu  $p$ . Das ist ein Widerspruch zur Annahme, dass  $(a_1, a_2, a_3)$  das Dreieck mit kleinster Punktabstandssumme ist. Daraus folgt, dass der nächste Punkt Teil dieses Dreiecks sein muss.  $\square$

### 3.1.3 Hilfssatz 2: Winkel-Punkteinschluss

Zwei Punkte  $a_2, a_3$ , die mit einem Punkt  $p$  eine Fläche  $f_{a_1}$  (blau, Abb. 6) hinter  $p$  projizieren, erzeugen mit jedem Punkt  $a_1$  aus  $f_{a_1}$  ein Dreieck, das  $p$  umschließt.

*Beweis* : Seien  $a_2, a_3$  und  $p$  Punkte auf einer zweidimensionalen Fläche und  $\varphi_2, \varphi_3$  die kleineren Winkel (d.h.  $\varphi_2, \varphi_3 < 90^\circ$ ) zwischen den Linien  $\{(a_2, a_3), (a_2, p)\}$  bzw.  $\{(a_3, a_2), (a_3, p)\}$ .

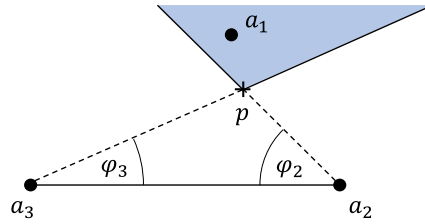


Abbildung 6: Winkel-Punkteinschluss

Um  $p$  nun in einem Dreieck mit  $a_2$  und  $a_3$  einzuschließen, muss der dreiecksvervollständigende Punkt  $a_1$  so liegen, dass gilt:  $\{(a_2, a_3), (a_2, a_1)\} \geq \varphi_2$  bzw.  $\{(a_3, a_2), (a_3, a_1)\} \geq \varphi_3$ , denn sonst würde mindestens eine Linie zwischen  $p$  und  $(a_3, a_2)$  verlaufen, was  $p$  ausschließt. Alle Punkte  $a_1$ , die  $\{(a_2, a_3), (a_2, a_1)\} \geq \varphi_2 \wedge \{(a_3, a_2), (a_3, a_1)\} \geq \varphi_3$  erfüllen, liegen also per Definition in  $f_{a_1}$ .  $\square$

### 3.1.4 Konstruktion

Zuerst durchsuche man die Datenpunkte nach dem, an  $p$  nächstgelegenen. Dieser ist Teil des Dreiecks minimaler Punktabstandssumme und wir nennen ihn  $c$  (3.1.2). Wir teilen die Ebene mit einer Geraden, die durch  $c$  und  $p$  verläuft. Orthogonal zu dieser legen wir eine weitere Gerade, die durch  $p$  geht (in Abb. 7 rot).

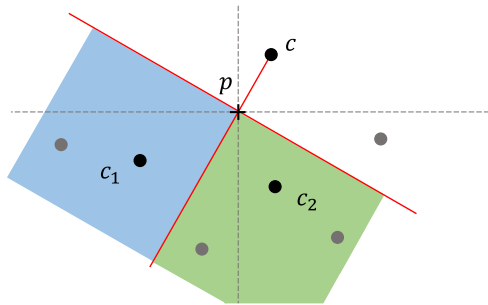


Abbildung 7: Konstruktion

Die beiden Quadranten, die nicht an  $c$  angrenzen (in Abb. 7 grün und blau), werden verwendet, um Datenpunkte  $c_1$  bzw.  $c_2$ , in jedem der beiden Quadranten einer, zu finden, die mit  $c$  ein  $p$ -umschließendes Dreieck bilden. Dazu nimmt man in beiden Quadranten den nächsten Punkt zu  $c$ . Die Punkte  $c, c_1$  und  $c_2$  liefern so ein Dreieck mit einer einigermaßen kleinen Punktabstandssumme.

### 3.1.5 Laufzeit

Der Algorithmus läuft in linearer Laufzeit, da sich das  $k$ -kleinste Element einer unsortierten Liste in Linearzeit finden lässt.

### 3.1.6 Selbstkritische Beleuchtung der Konstruktion

Die Konstruktion erzeugt schlechte Ergebnisse, falls in mindestens einem der beiden Suchquadranten keine oder sehr weit von  $p$  entfernte Datenpunkte liegen, weil die an  $c$  angrenzenden Quadranten ignoriert werden, obwohl darin ebenfalls Punkte liegen könnten, die für eine kleinere Punktabstandssumme sorgen würden (siehe Abb. 7). Ein Lösungsansatz dafür bestünde, indem man beispielsweise zuerst den nächsten Punkt zu  $p$  von beiden Quadranten sucht, z.B.  $c_1$  und mit diesem dann den möglichen Bereich für  $c_2$  absteckt. Dies würde allerdings eine sequentielle Suche nach  $c_1$  und  $c_2$  verlangen, während unsere Konstruktion Parallelisierung zulässt.

Ein sehr guter Aspekt an der Abstandsminimierung des ersten Punkts  $c$  ist, dass, falls  $p$  nahe oder auf einem Datenpunkt liegt, die Abweichung von den Messdaten sehr gering ist.

Eine weitere, hervorragende Eigenschaft ist, dass sich die Konstruktion in Form eines Algorithmus mit linearer Laufzeit implementieren lässt.

### **3.2 Stufe 2 (2HP NN)**

- Generierung einer Grundwahrheit? Warum nicht?
- Kommunikation mit dem Modell
  - Pipeline / Ablauf einer Anfrage
  - Optimierungen / Engpässe

## **4 Nutzeroberfläche**

Unterteilung in Kinderversion und wissenschaftliche Version? Farbliche Gestaltung

### **4.1 Wissenschaftliche Version**

- Abstriche in der Darstellung

### **4.2 Kinderversion**

- Kinderversion: Nutzernamenvergabe
- Einführung und Vereinfachung des Themas für Kinder
- Anreize / Spielifizierung: KI Charakter
- Frage: Wie stellt man eine KI dar?

## **5 Diskussion**

### **5.1 Nutzeroberfläche**

### **5.2 Backend**

### **5.3 Weiterführende Ideen**

## **6 Fazit**